

# 人 SP-B 蛋白转基因小鼠及细菌性肺炎模型的构建

葛林<sup>1\*</sup> 刘新宇<sup>2\*</sup> WANG Guirong<sup>3#</sup>

(1 天津医科大学生物化学与分子生物学系 天津 300070 2. 天津医科大学代谢病医院内分泌研究所, 卫生部激素与发育重点实验室, 天津市代谢性疾病重点实验室, 邮编 300070 3. 美国纽约州立大学上州医科大学 外科 纽约 13210)

**摘要** 目的: 构建携带人 SP-B 蛋白+1580 SNP 不同等位基因的转基因小鼠并进行细菌性肺炎模型的造模。方法: 利用受精卵原核注射技术将 hSP-B 基因整合至小鼠染色体上获得 F<sub>0</sub>代小鼠, 将其与 mSP-B 基因敲除鼠进行交配, 逐步去除转基因小鼠体内 mSP-B 基因。利用 PCR 技术鉴定小鼠基因型, 通过测序确定+1580 位点的等位基因。将铜绿假单胞菌经支气管灌注接种至小鼠肺内进行细菌性肺炎造模, 对照组注射等量灭菌生理盐水。结果: F<sub>2</sub>代小鼠只表达人 SP-B 蛋白而不表达鼠 SP-B 蛋白, 蛋白表达量与人肺内含量相近, 即为构建成功的转基因小鼠。3 个小鼠家系+1580 位点等位基因为 T, 1 个家系为 C。细菌接种后 24 小时, 小鼠肺泡内炎症渗出明显, 大量中性粒细胞浸润, SP-B 蛋白含量明显降低, 但不同等位基因间无明显差异。结果: 成功构建只表达人 SP-B 蛋白的转基因小鼠模型, 细菌性肺炎模型造模成功, 为今后进一步研究人 SP-B 蛋白的生理功能及+1580 基因多态性与肺疾病的关系提供了有力的工具。

**关键词:** SP-B 蛋白; SNP; 转基因小鼠; 细菌性肺炎

人表面活性蛋白 B (Human surfactant protein B, hSP-B) 是由肺泡 II 型上皮细胞分泌到肺泡表面的一种疏水性蛋白质, 其主要生理功能是形成肺泡表面的磷脂单分子层, 降低肺泡的表面张力, 防止肺泡塌陷从而维持正常的呼吸功能<sup>[1]</sup>。研究已经显示很多肺部的疾病的发生、发展与 SP-B 基因多态性相关, 如早

\*并列第一作者

#通讯作者 Wang Guirong, [wangg@upstate.edu](mailto:wangg@upstate.edu)

产儿呼吸窘迫综合征（RDS）、先天性肺泡蛋白沉积症（CAP）和支气管肺发育不良（BPD）<sup>[2]</sup>

SP-B 蛋白由位于人类 2 号染色体的 *SFTPB* 基因编码，基因长度约 9.5kb，包含 11 个外显子。成熟的基因产物由其前体蛋白 pro-SP-B 裂解而来，包含 79 个氨基酸残基，分子量约 8kD<sup>[3-5]</sup>。现有的文献已经报道了很多与呼吸系统疾病相关的基因变异，如 SP-B cDNA 第 121 个密码子由 GAA 替换为 CAA 与新生儿肺泡蛋白沉积症密切相关，受累的婴儿往往死于新生儿肺泡蛋白沉积症和 SP-B 缺乏<sup>[6]</sup>。据估计，这种基因突变的频率在个体中约为 0.1%<sup>[7]</sup>。另外，发现于 SP-B 外显子 4 的 1 个碱基的缺失（1553delT）造成了基因读码框的改变导致蛋白翻译前提终止于外显子 6。携带这种突变基因的婴儿出生后不久便会死亡，因为他们不能生成成熟的 SP-B 蛋白<sup>[8]</sup>。类似的基因变异还包括位于外显子 7 的 C236T、457delC 和外显子 5 的 G479T<sup>[9-11]</sup>。

目前发现位于 SP-B 基因 1580 位点的一个单核苷酸多态性 (SNP, rs11130866) 与 pro-SP-B 蛋白的翻译后 N-糖基化修饰有关。等位基因 T 与 C 的转换可以造成位于糖基化位点识别序列中的第 131 个氨基酸由苏氨酸转变成异亮氨酸，从而影响 pro-SP-B 蛋白的加工、分泌和稳定性，降低细胞内成熟 SP-B 蛋白的含量<sup>[12, 13]</sup>。

在本研究中，我们构建了人 SP-B (human SP-B, hSP-B) 蛋白转基因老鼠。这些 hSP-B 转基因小鼠携带有人 SP-B 基因的 C 或 T 等位基因而不表达鼠 SP-B (mouse, mSP-B) 基因。我们的结果显示人 SP-B 基因在转基因小鼠体内可以正常表达。与携带 T 等位基因的转基因小鼠相比，携带有 C 等位基因的小鼠具有更大的肺泡空间。我们用铜绿假单胞菌 (*P. aeruginosa*) 感染小鼠制造了肺炎模型。与对照组相比，肺炎组肺泡表面活性蛋白的表达量明显降低 ( $p < 0.01$ )，但在等位基因 C 组与 T 组之间并未有统计学差异。

## 1 材料与方法

### 1.1 实验动物

本研究中用到的野生型 (WT) FVB/N 小鼠购自美国 Jackson 实验室，mSP-B 基因敲除型 (KO) 小鼠由美国 Samuel Hawgood 博士友情赠送，hSP-B 转基因小

鼠通过显微注射的方式构建，方法同前期发表的文章<sup>[14]</sup>。所得小鼠为 Founder 小鼠 (TG F<sub>0</sub>)。所有小鼠的饲养均在美国 SUNY Upstate Medical University 动物中心完成。

### 1.2 hSP-B 转基因小鼠纯合子品系的建立

本研究将构建出携带有人 SP-B 基因 (hSP-B) +1580 多态位点 C 等位基因或 T 等位基因而不表达鼠 SP-B 基因 (mSP-B) 的人源化转基因小鼠进行后续的研究。该人源化转基因小鼠的建立是通过将 TG F<sub>0</sub> 转基因小鼠与 KO 小鼠进行交配逐步去除 mSP-B 基因的表达，交配流程见图 1。

### 1.3 转基因小鼠基因型的鉴定

当小鼠的人 SP-B 基因阳性而鼠 SP-B 基因阴性时定义为正确人源化的转基因小鼠。剪取新生小鼠的尾巴 0.5~1.0cm，利用 DNA 纯化试剂盒 (QIAGEN) 提取基因组 DNA，利用 Nano Drop 进行定量。以纯化后的 DNA 为模版分别扩增人 SP-B 和鼠 SP-B 基因片段，PCR 反应条件为 95℃变性 40 秒，58℃退火 40 秒，68℃延伸 40 秒，共 35 个循环。循环结束后，68℃延伸 7 分钟，反应结束。PCR 产物通过 2%琼脂糖凝胶电泳分离，EB 染色，凝胶成像仪观察电泳结果。

为了鉴定+1580 位点的多态性等位基因，以正确人源化的转基因小鼠基因组 DNA 为模版，扩增全长 hSP-B 基因 (High Fidelity PCR kit, Roche,)。将 PCR 产物送至 Core Facility (SUNY Upstate Medical University) 测序。

### 1.4 转基因小鼠 BALF 中肺泡表面蛋白表达的鉴定

利用 western blot 方法鉴定转基因小鼠肺泡内 hSP-B 的表达情况。选取 8 至 12 周的 hSP-B 小鼠，异氟醚麻醉后用 1.0ml 灭菌的 PBS 缓冲液分 2 次进行肺泡灌洗，灌洗液的总蛋白含量通过 BCA 分析试剂盒进行定量。将 10 μg 的总蛋白用 12%SDS-PAGE 凝胶进行分离，以人 BALF 作为阳性对照。电泳结束后将蛋白转印至 0.2 μm 的 PVDF 膜上，利用 SP-B 抗体 (Santa Cruz) 进行鉴定。

### 1.5 组织学与细胞学分析

为了观察 hSP-B 转基因小鼠肺组织结构和 II 型肺泡上皮细胞的定位情况, 选取 8~12 周小鼠的肺脏用 10% 的福尔马林溶液灌注、固定, 然后石蜡包埋。将组织块切割为 5  $\mu$ m 厚度的薄片, 用 hematoxylin and eosin kit 和 ABC kit (Vector Laboratories, Burlingame, CA) 进行染色, SP-B 抗体用来鉴定肺组织切片中的 II 型肺泡上皮细胞。

## 1.6 铜绿假单胞菌肺炎模型的建立

为了进一步鉴定转基因小鼠肺组织表达的人 SP-B 蛋白的功能, 课题组建立了铜绿假单胞菌肺炎模型。将 50  $\mu$ l 菌液 ( $10^7$  CFU) 经气管灌注入小鼠肺内, 对照组灌注相同体积的灭菌生理盐水。24 小时后处死小鼠, 收集 BALF 检测总蛋白含量、hSP-B 含量及 CFU; 或者固定肺组织观察组织学的改变。

## 1.7 统计学分析

本课题所有实验均重复 3 次以上。Western blot 实验条带利用 Quantity One (version 4.6.1) 软件进行定量。统计学分析利用 SigmaStat (version 3.5) 软件完成。组间差异采用 t 检验或方差分析,  $P < 0.05$  有统计学意义。

# 2 实验结果

## 2.1 人 SP-B-C 与 SP-B-T 转基因鼠的构建及基因型鉴定

为了构建人 SP-B 转基因鼠, 我们将人 SP-B 基因的 cDNA 序列克隆至 SV40 载体, 并将重组质粒通过显微注射的方式植入 FVB/N 野生小鼠的受精卵。通过 PCR 检测得到的阳性小鼠为  $F_0$  代的转基因鼠, 最终共得到 4 个家系 (编号为 2004、2007、2012 和 2059)。

为了逐步去除小鼠 SP-B 基因, 我们将  $F_0$  代的转基因鼠反复与 SP-B 基因敲除 (KO) 小鼠进行交配 (图 1A) 以逐步去除鼠 SP-B 基因。剪取新生小鼠尾巴提取基因组 DNA, 通过 PCR 技术分别检测人 SP-B (片段长度为 577bp) 和鼠 SP-B 的基因 (片段长度为 279bp) 表达情况 (图 1B), 最终筛选出只含有人 SP-B 基因的转基因小鼠, 即我们需要构建的人源化的 SP-B 转基因鼠模型。

在人 SP-B 基因的第 1580 个核苷酸（位于第四个外显子内）存在一个 T/C 的多态性位点，造成编码的氨基酸由苏氨酸替换为异亮氨酸。已经有文献报道等位基因 C 相比于等位基因 T 具有更高的 ARDS 的发病率<sup>[15]</sup>。通过测序，在我们得到的 4 个家系中，3 个家系（编号 2004，2007，和 2059）的该多态性位点处为等位基因 T，1 个家系（编号 2012）为等位基因 C（图 1C）。

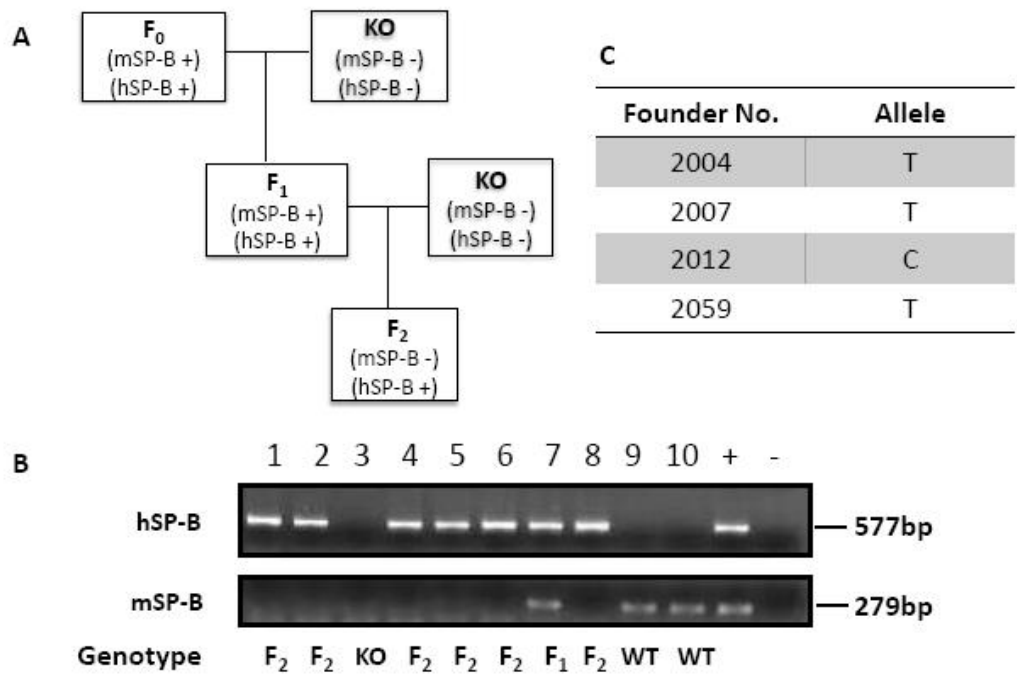


图 1 人 SP-B-C 与 SP-B-T 转基因鼠的构建及基因型鉴定 A) 人源化 SP-B 转基因鼠构建流程图；B) PCR 法鉴定小鼠基因型；C) 转基因小鼠 SP-B +1580 位点的等位基因。

Fig.1 Construction and genotyping of hSP-B transgenic mice A) The hSP-B transgenic mice were obtained by mating F<sub>0</sub> mice with KO mice. B) The mice genotypes were identified by PCR. C) The polymorphism allele in SP-B gene.

## 2.2 转基因小鼠的肺组织形态学和人 SP-B 蛋白表达分析

我们将得到的 4 个家系的转基因小鼠肺组织进行固定后切片，通过 HE 染色和免疫组化技术观察肺泡结构。HE 染色显示 4 个家系的转基因小鼠都具有正常的肺泡结构，然而携带等位基因 C 的小鼠相比携带等位基因 T 的小鼠具有更大的肺泡直径，但在生理功能和生物学行为上并未表现出明显差异（图 2A）。在免



疫组化检测中，我们用特异性识别人 SP-B 蛋白的抗体检测分泌 SP-B 蛋白的肺泡 II 型上皮细胞，结果显示 4 个转基因小鼠品系均检测到阳性肺泡 II 型上皮细胞（图 2B）。携带等位基因 C 的转基因小鼠单个肺泡含有更多的肺泡 II 型上皮细胞，也许这也是造成该品系小鼠肺泡直径较大的原因。

为了检测转基因小鼠肺组织中人 SP-B 蛋白的表达情况，我们对 4 个家系的转基因小鼠样本进行肺泡灌洗，利用 western blot 的方法检测肺泡灌洗液中 SP-B 的含量，阳性对照为人的肺泡灌洗液。结果显示 4 个家系的转基因小鼠的肺泡灌洗液中均含有丰富的 SP-B 蛋白，其蛋白含量与人肺泡灌洗液无明显差异（图 2C）。

以上结果显示，我们构建的人转基因小鼠中人 SP-B 基因表达正常，我们的人源化的 SP-B 小鼠模型构建成功，可以作为进一步研究人 SP-B 蛋白的结构和功能的动物模型。

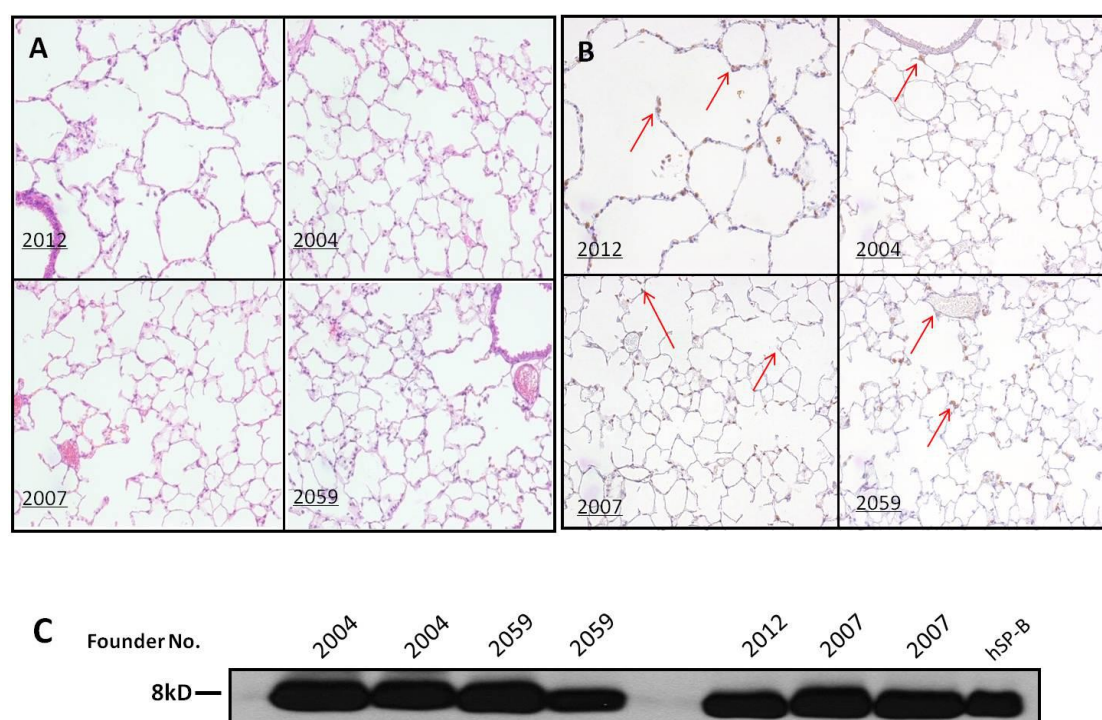


图 2 转基因小鼠的肺组织形态学和人 SP-B 蛋白表达分析 A) 转基因小鼠的肺组织结构; B) 转基因小鼠的肺泡 II 型上皮细胞（箭头所示）; C) 转基因小鼠 BLAF 中 SP-B 蛋白含量。

**Fig. 2 Lung histology and hSP-B expression in hSP-B TG mice.** A) Lung tissue structure. B) Alveolar type II epithelia cells (shown by arrows). C) hSP-B expression in BALF of F<sub>2</sub> mice.

### 2.3 人 SP-B 转基因小鼠细菌性肺炎模型的建立及鉴定

为了进一步研究携带不同等位基因的 SP-B 蛋白在肺部疾病中可能发挥的生理病理功能，我们利用构建好的人 SP-B 蛋白转基因小鼠构建了肺炎模型。我们将铜绿假单胞菌 PA01 菌株通过支气管灌注的方式注入小鼠肺脏，对照组灌注等量灭菌生理盐水。与对照组相比，实验组小鼠在接种后表现出寒战、嗜睡和萎靡不振等症状。肺组织切片 HE 染色显示实验组肺泡腔内有明显液体渗出并伴有大量细胞浸润，肺泡结构破坏。肺泡灌洗液细胞图片显示对照组主要为单核巨噬细胞，而实验组则表现为大量的中性粒细胞（图 3）。以上结果显示细菌性肺炎模型建立成功，可用于后续的研究工作。

为了观察 SP-B 蛋白+1580 多态性在细菌性肺炎中的可能生理功能，我们对携带不同等位基因的转基因小鼠进行细菌性肺炎进行造模，收集肺泡灌洗液分析 SP-B 蛋白的表达情况。我们的结果显示，无论是携带等位基因 T 还是等位基因 C，感染后的小鼠均表现出 SP-B 蛋白的分泌水平明显下降（图 4A），结果具有统计学差异（ $p < 0.01$ ）（图 4B、4C），但是不同等位基因之间没有表现出明显差异（图 4A），提示我们不同的等位基因对 SP-B 的蛋白表达量没有明显影响，可能是通过影响 SP-B 蛋白的功能而表现出对肺部疾病的不同敏感性。

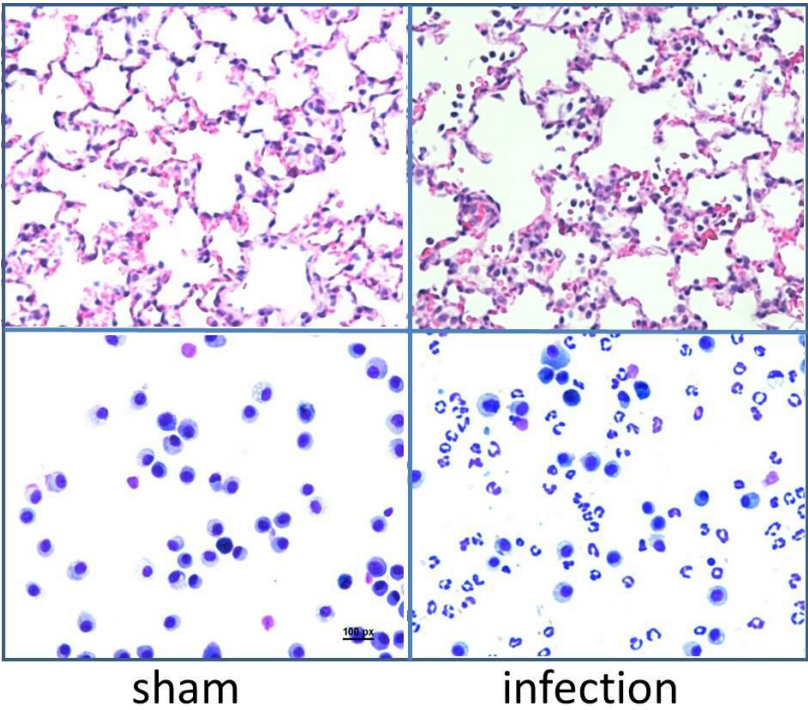


图 3 人 SP-B 转基因小鼠细菌性肺炎模型的建立 细菌感染组与对照组小鼠肺泡结构及肺泡灌洗液中细胞的差异

Fig. 3 Bacterial pneumonia model in hSP-B transgenic Mice. The lung tissue structure and cells from BALF in Sham and infection groups.

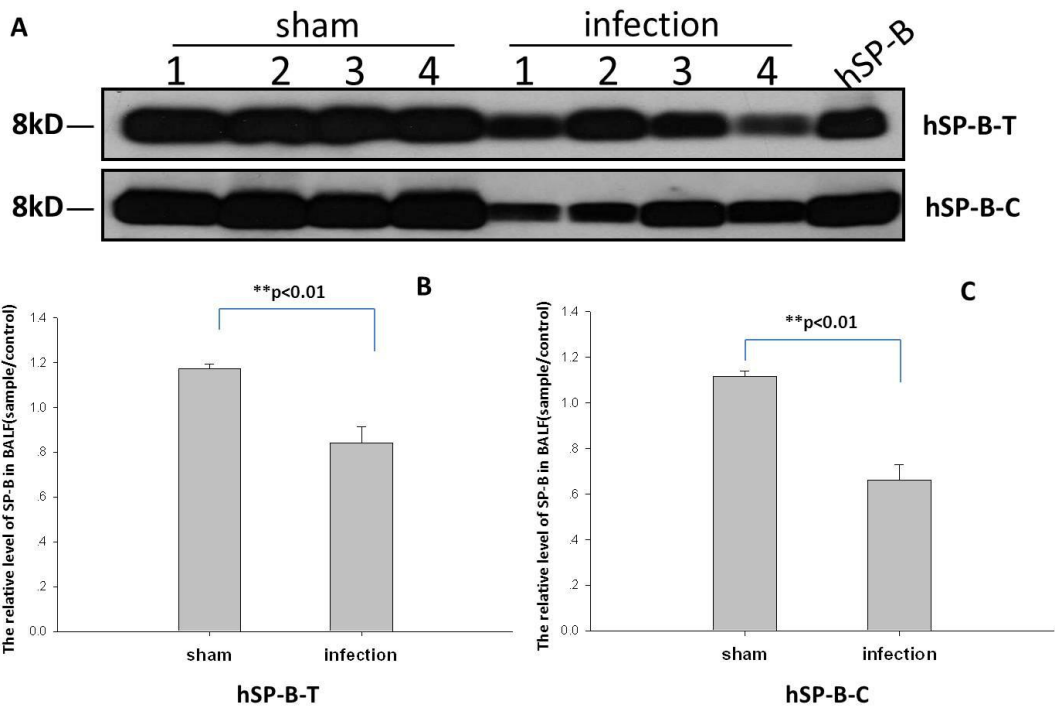




图 4 细菌性肺炎模型中人 SP-B 蛋白表达分析 A) 感染组与对照组 BALF 中的 hSP-B 蛋白表达量; B), C) 统计学分析显示两组之间具有统计学差异 ( $p < 0.01$ )。

Fig. 4 Western blot analysis of hSP-B expression in BALF of sham and infection group.

A) The hSP-B expression in sham and infection group. B), C) There is a significant difference between the two groups ( $p < 0.01$ ).

### 3 讨论

肺泡表面蛋白是维持呼吸时肺功能正常发挥的必不可少的成分, 其中最重要的是肺泡表面活性蛋白 B (SP-B)。SP-B 通过两条途径影响肺功能的发挥: 1) 通过与脂质单分子层作用减少肺泡折叠时脂质的破坏和丢失; 2) 降低肺泡表面的张力防止肺泡塌陷。维持正常成人肺功能需要 SP-B 的量至少为正常水平的 25%<sup>[16]</sup>。有文献报道, 位于 SP-B 基因+1580 处的基因多态性可以影响 SP-B 蛋白的生理功能, 携带等位基因 C 的 SP-B 活性降低<sup>[13]</sup>。为了进一步研究 SP-B +1580 基因多态性与 SP-B 蛋白活性的关系, 我们课题组构建了携带不同等位基因的人 SP-B 转基因小鼠, 并通过接种铜绿假单胞菌建立了细菌性肺炎模型。该转基因小鼠能够特异性地表达不同等位基因的人 SP-B 蛋白, 且蛋白表达水平与正常成人体内相近, 将成为观察和研究人 SP-B 蛋白生理、病理功能的有力工具。

成熟的 SP-B 蛋白是一个分子量为 8kD 的小分子疏水性蛋白, 是由其分子量为 43kD 的前体蛋白经过水解生成。SP-B 前体蛋白从 N 端至 C 端共含有 4 个结构域: 1) 信号肽, 介导其合成之后向内质网的转运过程; 2) N 端肽段, 是一个分子伴侣, 介导其成熟肽段的分类; 3) 成熟肽段, 主要的功能肽段, 参与构成肺泡表面活性物质; 4) C 端肽段, 不影响 SP-B 的转运但是在维持 lamellar 小体即 SP-B 在细胞中的储存形式的稳定中有重要作用<sup>[17]</sup>。我们所关注的 SP-B+1580 多态性位点即位于 N 端肽段内。在我们构建的人 SP-B 转基因小鼠模型中, 携带 T 基因和 C 基因的小鼠无论是在生理条件下还是在肺炎模型中均表现出相似的 SP-B 蛋白表达水平, 提示我们该多态性位点对 SP-B 蛋白的转运、水解和分泌没有明显影响, 可能是通过其他途径影响 SP-B 蛋白的功能, 如蛋白质的加工修饰, 需要后续研究进一步的证实。

目前,许多研究小组已经开展了大量的关于 SP-B +1580 基因多态性与肺部疾病的关系的研究,其研究结果显示不同的等位基因确实对肺部疾病有不同的敏感性。C/C 基因型在新生儿呼吸窘迫综合征中出现的比较频繁<sup>[18]</sup>,而 T/T 基因型在间质性肺疾病(interstitial lung disease, ILD)中具有保护作用<sup>[19]</sup>.携带 C 等位基因的个体较携带 T 等位基因的个体肺损伤程度更重<sup>[20]</sup>.不同等位基因对肺部疾病的不同影响的具体机制目前还不清楚,可能是由于等位基因 T 取代 C 之后造成该位点参与编码的氨基酸由原来的苏氨酸替换为异亮氨酸,使 SP-B 蛋白分子上一个 N-糖基化修饰位点的消失<sup>[21]</sup>.N-糖基化作为一种重要的转录后修饰方式,广泛地参与蛋白质的折叠、分泌、转运、稳定和蛋白质的生物学活性等过程<sup>[22, 23]</sup>.在我们的研究中,SP-B 蛋白的 N-糖基化位点的丢失并不影响 SP-B 蛋白的转运和分泌,其可能会通过影响 SP-B 蛋白的结构和构象进而影响 SP-B 蛋白的稳定性和生物学活性的发挥。

#### 4 结论

综上所述,我们成功地构建了+1580 位点携带不同等位基因的人 SP-B 转基因小鼠,并成功地构建了细菌性肺炎模型,为今后进一步研究人 SP-B 蛋白的生理功能与基因+1580 单核苷酸多态性之间的关系提供了有力的工具,为今后深入地研究 SP-B +1580 位点不同等位基因在肺炎症性疾病发生、发展中的作用奠定了基础。

#### 5 致谢

我们衷心感谢 Jeffrey A. Whitsett 和 Stephan W. Glasser 教授(辛辛那提儿童研究基金会)慷慨赠送 SP-B K0 小鼠和 3.7-hsp-c/SV40 载体。本研究工作由 NIH 基金 HL096007、迈克尔·康诺利捐赠基金、亨德瑞基金和天津医科大学科学基金 2013KY04 资助完成。

#### 参考文献

- [1]. Mazela, J., T.A. Merritt, J. Gadzinowski, et al., *Evolution of pulmonary surfactants for the treatment of neonatal respiratory distress syndrome and paediatric lung diseases.* Acta Paediatrica, 2006. **95**(9): 1036-1048.

- [2]. Celli, B.R., C.G. Cote, J.M. Marin, et al., *The body-mass index, airflow obstruction, dyspnea, and exercise capacity index in chronic obstructive pulmonary disease*. New England Journal of Medicine, 2004. **350**(10): 1005-1012.
- [3]. Glasser, S.W., T.R. Korfhagen, T. Weaver, et al., *cDNA and deduced amino acid sequence of human pulmonary surfactant-associated proteolipid SPL (Phe)*. Proceedings of the National Academy of Sciences, 1987. **84**(12): 4007-4011.
- [4]. PILOT-MATIAS, T.J., S.E. KISTER, J.L. FOX, et al., *Structure and organization of the gene encoding human pulmonary surfactant proteolipid SP-B*. DNA, 1989. **8**(2): 75-86.
- [5]. Akella, A. and S.B. Deshpande, *Pulmonary surfactants and their role in pathophysiology of lung disorders*. Indian Journal of Experimental Biology. 2013 .51(1):5-22
- [6]. Nogee, L.M., G. Garnier, H. Dietz, et al., *A mutation in the surfactant protein B gene responsible for fatal neonatal respiratory disease in multiple kindreds*. Journal of Clinical Investigation, 1994. **93**(4): 1860-1863.
- [7]. Clark, H. and L.S. Clark. *The genetics of neonatal respiratory disease. Seminars in fetal and neonatal medicine*. 2005. 10(3):271-282
- [8]. Wallot, M., C. Wagenvoort, K.-M. Müller, et al., *Congenital alveolar proteinosis caused by a novel mutation of the surfactant protein B gene and misalignment of lung vessels in consanguineous kindred infants*. European journal of pediatrics, 1999. **158**(6): 513-518.
- [9]. Tredano, M., R.M. van Elburg, A.G. Kaspers, et al., *Compound SFTPB 1549C→ GAA (121ins2) and 457delC heterozygosity in severe congenital lung disease and surfactant protein B (SP-B) deficiency*. Human mutation, 1999. **14**(6): 502-509.
- [10]. Ballard, P.L., L.M. Nogee, M.F. Beers, et al., *Partial deficiency of surfactant protein B in an infant with chronic lung disease*. Pediatrics, 1995. **96**(6): 1046-1052.
- [11]. Dunbar, A.E., S.E. Wert, M. Ikegami, et al., *Prolonged survival in hereditary surfactant protein B (SP-B) deficiency associated with a novel splicing mutation*. Genetics in Medicine, 2000. **7**(7): 275-282.

- [12]. Taponen, S., J.M. Huusko, U.E. Petäjä-Repo, et al., *Allele-specific N-glycosylation delays human surfactant protein B secretion in vitro and associates with decreased protein levels in vivo*. Pediatric research, 2013. **74**(6): 646-651.
- [13]. Quasney, M.W., G.W. Waterer, M.K. Dahmer, et al., *Association between surfactant protein B+ 1580 polymorphism and the risk of respiratory failure in adults with community-acquired pneumonia\**. Critical care medicine, 2004. **32**(5): 1115-1119.
- [14]. Wang, G., X. Guo, S. DiAngelo, et al., *Humanized SFTPA1 and SFTPA2 Transgenic Mice Reveal Functional Divergence of SP-A1 and SP-A2 FORMATION OF TUBULAR MYELIN IN VIVO REQUIRES BOTH GENE PRODUCTS*. Journal of Biological Chemistry, 2010. **285**(16): 11998-12010.
- [15]. Lin, Z., C. Pearson, V. Chinchilli, et al., *Polymorphisms of human SP-A, SP-B, and SP-D genes: association of SP-B Thr131Ile with ARDS*. Clin Genet, 2000. **58**(3): 181-191.
- [16]. Cole, F.S., *Surfactant protein B: unambiguously necessary for adult pulmonary function*. Am J Physiol Lung Cell Mol Physiol, 2003. **285**(3): L540-542.
- [17]. Ueno, T., S. Linder, C.-L. Na, et al., *Processing of pulmonary surfactant protein B by napsin and cathepsin H*. Journal of Biological Chemistry, 2004. **279**(16): 16178-16184.
- [18]. Yin, X., F. Meng, Y. Wang, et al., *Surfactant protein B deficiency and gene mutations for neonatal respiratory distress syndrome in China Han ethnic population*. Int J Clin Exp Pathol, 2013. **6**(2): 267-272.
- [19]. Sumita, Y., T. Sugiura, Y. Kawaguchi, et al., *Genetic polymorphisms in the surfactant proteins in systemic sclerosis in Japanese: T/T genotype at 1580 C/T (Thr131Ile) in the SP-B gene reduces the risk of interstitial lung disease*. Rheumatology (Oxford), 2008. **47**(3): 289-291.
- [20]. Dahmer, M.K., P. O'Cain, P.P. Patwari, et al., *The influence of genetic variation in surfactant protein B on severe lung injury in African American children*. Crit Care Med, 2011. **39**(5): 1138-1144.
- [21]. Wang, G., N.D. Christensen, B. Wigdahl, et al., *Differences in N-linked glycosylation between human surfactant protein-B variants of the C or T allele at the*

- single-nucleotide polymorphism at position 1580: implications for disease*. Biochem J, 2003. **369**(Pt 1): 179-184.
- [22]. Skropeta, D., *The effect of individual N-glycans on enzyme activity*. Bioorg Med Chem, 2009. **17**(7): 2645-2653.
- [23]. Moremen, K.W., M. Tiemeyer, and A.V. Nairn, *Vertebrate protein glycosylation: diversity, synthesis and function*. Nat Rev Mol Cell Biol, 2012. **13**(7): 448-462.

## Construction of human SP-B protein transgenic mice and bacterial pneumonia model

GE Lin<sup>1\*</sup> LIU Xin-yu<sup>2\*</sup> WANG Guirong<sup>3#</sup>

(1.Tianjin Medical University, Department of Biochemistry and Molecular Biology, Tianjin 300070, China; 2.Key Laboratory of Hormones and Development (Ministry of Health), Tianjin Key Laboratory of Metabolic Diseases, Tianjin Metabolic Diseases Hospital & Tianjin Institute of Endocrinology, Tianjin Medical University, 300070 Tianjin, China; 3.SUNY Upstate Medical University, Department of Surgery, Syracuse NY 13210, USA)

**Abstract Objective:** to construct the transgenic mice expressing human SP-B gene with different alleles in +1580 SNP and the bacterial pneumonia model.

**Methods:** The hSP-B gene was integrated into the mouse chromosome to obtain the F<sub>0</sub> generation mice by microinjection technology. The mice were mated with mSP-B gene knockout mice to eliminate the mSP-B gene gradually. Using PCR technique to identify the genotype of mice, and to determine the allele of +1580 locus by sequencing. The *Pseudomonas aeruginosa* was inoculated into the lung of mice to make the model of bacterial pneumonia, and the control group was injected with the same amount of sterile saline. **Results:** F2 mice expressed human SP-B protein only, and the expression level of SP-B protein was similar to that in human lung. The +1580 locus alleles T was found in 3 mice families and allele



C was found in 1 mice family. After infection for 24 hours, the inflammatory exudation in the alveolar of mice was obvious. A large number of neutrophils were observed in mice alveolus. SP-B protein level was significantly reduced, but there was no significant difference between the different alleles.

**Conclusions:** the construction of human SP-B protein expression transgenic mice model and bacterial pneumonia model were successful. The mice will be a powerful tool for the further studies on physiological function of human SP-B protein and the relationship between +1580 gene polymorphism and lung diseases.

**Key words:** SP-B protein ; SNP; transgenic mice ; bacterial pneumonia